

Expression Levels of Key Components of the Hedgehog Pathway and an Investigation of the Correlation of this Pathway with Expression Levels of Claudin-1 in Invasive Breast Carcinoma

Marzieh Salehi¹, Sadegh Babashah^{2*}, Sirous Zeinali³

- 1- M.Sc. Students, Department of Genetics, Faculty of Biological Science, Tarbiat Modares University, Tehran, Iran
2- Assistant Professor, Department of Genetics, Faculty of Biological Science, Tarbiat Modares University, Tehran, Iran
3- Professor, Department of Molecular Medicine, Biotechnology Research Center, Pasteur Institute of Iran, Tehran, Iran

**Corresponding Address: Postal Code: 1411713116, Department of Genetics, Faculty of Biological Science, Tarbiat Modares University, Tehran, Iran
Email: babashah@modares.ac.ir*

Received: 22/Feb/2016, Accepted: 01/Jun/2016

Abstract

Objective: Breast cancer is considered a heterogeneous disease, characterized by different biological and phenotypic features which make its diagnosis and treatment challenging. We have sought to investigate the expression levels of key components of the Hedgehog signaling pathway, correlation between the signal transducer Smo, and clinicopathologic features (lymph node metastasis and metastasis stage) in invasive breast carcinoma. Also, we examined the inverse correlation between expression levels of Smo and Claudin-1 (an important gene involved in cell tight junctions).

Methods: In this case-control study, we assessed 36 pairs of tumor and adjacent normal tissue specimens obtained from patients with invasive ductal breast carcinoma. The expression levels of key components of Hedgehog signaling (Smo, Gli1 and Ptch), Claudin-1, E-cadherin, and MMP2 were measured by qRT-PCR. The correlations between Smo expression with some clinicopathologic parameters were also analyzed.

Results: We found up-regulation of Hedgehog signaling in invasive breast carcinoma samples compared to normal adjacent tissues. Upregulation of the signal transducer Smo correlated with tumor stages and lymph node metastasis of the breast tumors. Interestingly, this correlation was affected by the expression of Her2. A significant correlation existed between expression levels of the signal transducer Smo and Claudin-1, E-cadherin as an epithelial cell marker, and MMP2 as a metastasis-related gene in advanced metastatic tumor samples.

Conclusion: Taken together, our study revealed a new layer of molecular complexity which should be considered in the management of patients with invasive breast carcinoma. The results suggested a key role for Hedgehog signaling in invasive breast carcinoma. In terms of the inverse correlation between expression levels of Claudin-1 and Hedgehog signaling, Claudin-1 could serve as a candidate gene in diagnostic studies. Thus, its clinical significance should be further clarified.

Keywords: Breast cancer, Hedgehog signaling pathway, Claudin-1, Prognosis

Pathobiology Research, Vol. 19 (2016-2017), No.1, Pages: 45-57

الگوی بیانی اعضای کلیدی مسیر Hedgehog و بررسی ارتباط این مسیر با بیان ژن ۱ Claudin-1 در کارسینومای تهاجمی مجاور پستان

مرضیه صالحی^۱، صادق بابا شاه^{۲*}، سیروس زینلی^۳

۱- دانشجوی کارشناسی ارشد، گروه ژنتیک، دانشکده علوم زیستی، دانشگاه تربیت مدرس، تهران، ایران

۲- استادیار، گروه ژنتیک، دانشکده علوم زیستی، دانشگاه تربیت مدرس، تهران، ایران

۳- استاد، گروه پزشکی مولکولی، مرکز تحقیقات بیوتکنولوژی، انتیتو پاستور ایران، تهران، ایران

*آدرس نویسنده مسئول: ایران، تهران، کدپستی: ۱۴۱۷۱۳۱۶، دانشگاه تربیت مدرس، دانشکده علوم زیستی، گروه ژنتیک

Email: babashah@modares.ac.ir

پذیرش مقاله: ۹۵/۰۳/۱۲

دریافت مقاله: ۹۴/۱۲/۰۴

چکیده

هدف: سرطان پستان به عنوان بیماری هتروژن با ویژگی‌های زیستی و فنوتیپی متفاوت همراه است که این ویژگی‌ها تشخیص و درمان بیماری را چالش برانگیز کرده است. این مطالعه به بررسی سطوح بیانی اعضای کلیدی مسیر پیام‌رسانی Hedgehog و همراهی بیان گیرنده انتقال پیام Smo با برخی ویژگی‌های بالینی و آسیب‌شناختی نظری وضعیت بیان ژن ۲-Her. متاستاز به عروق لفني و مرحله متاستاز در کارسینومای تهاجمی پستان می‌پردازد. همچنین ارتباط معکوس بیانی بین ژن Smo و ژن ۱ Claudin (یکی از ژن‌های مهم اتصالات محکم سلولی) بررسی می‌شود. مواد و روش‌ها: در مطالعه مورد شاهد حاضر، در بین ۳۶ جفت نمونه بافتی تومور و بافت سالم مجاور از بیماران مبتلا به کارسینومای تهاجمی مجاور پستان، سطوح بیانی اعضای کلیدی مسیر پیام‌رسانی Smo (Hedgehog)، Gli1، Smo (Ptch)، E-cadherin، Claudin-1 و MMP2 توسط Q-RT-PCR سنجیده شد. همچنین همراهی بیان گیرنده انتقال پیام Smo با برخی ویژگی‌های بالینی و آسیب‌شناختی بررسی شد.

نتایج: نتایج بیش ترظیمی مسیر پیام‌رسانی Hedgehog در نمونه‌های کارسینومای تهاجمی پستان در مقایسه با بافت سالم مجاور را نشان داد. همچنین بیش ترظیمی ژن انتقال پیام Smo با مراحل پیشرفته تومور و متاستاز به عروق لفني تومورهای پستان در ارتباط بود و این ارتباط متأثر از وضعیت بیانی ژن ۲-Her بود. علاوه بر این، ارتباط محسوسی بین سطوح بیانی ژن Smo و ژن‌های ۱ Claudin (ژن دخیل در اتصالات سلولی)، E-cadherin، MMP2 (ژن نشانگر سلول اپی‌تیلیال) و MMP2 (ژن کلیدی ماتریکس خارج سلولی و مرتبط با متاستاز) در نمونه‌های توموری با مراحل پیشرفته ملاحظه شد. نتیجه‌گیری: این مطالعه سطح جدیدی از پیچیدگی مولکولی که باید در مدیریت بیماران مبتلا به کارسینومای تهاجمی پستان مورد لحاظ واقع شود را نشان داد. نتایج بر نقش کلیدی مسیر پیام‌رسانی Hedgehog در کارسینومای تهاجمی مجاور پستان اشاره دارد. همچنین با توجه به ارتباط بیانی معکوس ژن ۱ Claudin با مسیر Hedgehog، به نظر می‌رسد ژن ۱ Claudin می‌تواند به عنوان کاندیدایی برای بررسی‌های بیشتر در مطالعات تشخیصی مورد ملاحظه قرار گیرد؛ بنابراین اهمیت بالینی این مسئله نیاز به تحقیقات بیشتر در آینده دارد.

کلیدواژگان: سرطان پستان، مسیر پیام‌رسانی Hedgehog، ۱ Claudin، پیش‌آگهی

پژوهش‌های آسیب‌شناختی زیستی، دوره ۱۹، شماره ۱، بهار ۱۳۹۵، صفحات: ۴۵-۵۷

ارتباط بیانی ژن **Claudin-1** با مسیر **Hedgehog** در کارسینومای پستان

مقدمه

متاستاز انواع مختلف سرطان گزارش شده است [۱۰-۸]. اهمیت این مسیر پیامرسانی در سرطان‌زایی (Carcinogenesis) زمانی بیشتر نمود می‌یابد که بدین نکته توجه شود که بسیاری از ژن‌های درگیر در این مسیر پیامرسانی نظیر *Gli1*, *Shh*, *Smo*, *Gli2* به عنوان سرطان زا و گیرنده *Ptch* به عنوان سرکوب‌گر تومور عمل می‌نمایند [۱۲-۱۰].

فرآیند گذار اپی‌تیال به مزانشیم (Epithelial to mesenchymal transition: EMT) تغییری فنتوپی است که با فرآیند متاستاز در ارتباط است و به عنوان یک عامل خطر برای سرطان پستان در نظر گرفته می‌شود. طی EMT، تغییر *N-cadherin* یا از *E-cadherin* (نشانگر اپی‌تیال) به سوی (نشانگر مزانشیم) دیده می‌شود و این رویداد سبب تغییر در چسبندگی ماتریکس خارج سلولی می‌شود. کسب فنتوپ تهاجمی شباهت‌های بسیاری با EMT دارد و این ویژگی‌ها شامل از بین رفتن اتصالات سلول-سلول و افزایش حرکت سلولی است. گزارش شده است که تومورهای همراه با کاهش *E-cadherin* دارای متاستاز و تهاجم بیشتر به غدد لنفاوی نسبت به تومورهایی با عدم تغییر در سطوح بیانی *E-cadherin* است [۱۵-۱۳].

ارتباط مستدلی بین نقش پروتئین‌های درگیر در اتصالات محکم (Tight junction) سلولی و تکوین سرطان وجود دارد. تغیرات در ساختار و عملکرد اتصالات محکم در ایجاد کارسینوما در اندام‌های مختلف گزارش شده است. در این راستا مشخص شده است که غیاب یا نقص این اتصالات ارتباط مستقیمی با ایجاد فنتوپ تئوپلاستیک (Neoplastic phenotype) در سلول‌های اپی‌تیال دارد [۱۶]. خانواده *Claudin*‌ها پروتئین‌های غشایی دخیل در اتصالات محکم است. در این میان *Claudin-1* ژنی است که طی تکوین اولیه غدد پستانی بیان زیادی دارد. این بیان طی مراحل مختلف تکوین غدد پستانی طبیعی بهشدت تنظیم شده است. مطالعات انجام یافته روی سرطان پستان تهاجمی و برخی رده‌های سلولی سرطان پستان اشاره به کاهش یا فقدان کامل بیان ژن

سرطان پستان فراوان‌ترین سرطان در بین زنان سراسر جهان بهشمار می‌رود. در زمینه مدیریت تشخیص و درمان این بدخیمی، از عوامل بالینی و آسیب‌شناختی مختلفی یاد می‌شود که دارای اهمیت پیش‌آگهی در زمینه بقای بیماران هستند. این عوامل شامل سن بیمار، اندازه تومور، وضعیت یائسگی، درگیری عروق لنفی، وضعیت گیرنده‌های هورمونی، بیش بیان گیرنده عامل رشد اپیدرمال انسانی (Human epidermal growth factor 2: Her2) و ویژگی‌های بافت‌شناسی نظیر مرحله (Stage) و درجه (Grade) تومور است. اگرچه تعیین این الگوریتم‌های پیش‌آگهی در تشخیص میزان خطر سرطان، باعث بهبود میزان بقای بیماران شده است، یکی از چالش‌های مهم در این زمینه آن است که این رویکرد پیچیدگی‌های مولکولی هر نئوپلاسم (Neoplasm) را مد نظر قرار نمی‌دهد. در واقع به نظر می‌رسد پیش‌بینی دقیق پتانسیل متاستازی تومور برای مدیریت تشخیصی و درمانی بیماران مبتلا سرطان پستان ضروری است [۱-۳].

مسیر پیامرسانی **Hedgehog** مسیری از نظر تکاملی حفاظت شده است که از طریق کتلر سرنوشت سلولی، الگودهی، تکثیر، بقا و تمایز در جنبه‌های مهره‌داران نقشی ضروری بازی می‌کند. این مسیر در بالغین در تنظیم هموستاز بافتی، بازساختی و حفظ سلول‌های بنیادی مشارکت دارد. مسیر پیامرسانی *Hedgehog* با اتصال لیگاندهای پروتئینی [Shh] (Sonic Hedgehog)، [Dhh] (Desert Hedgehog) و [Ihh] (Indian Hedgehog) به *Ptch* فعال می‌شود. گیرنده *Ptch* تنظیم‌کننده منفی گیرنده غشایی دیگری به نام *Smo* است. در پی اتصال لیگاند، اثر مهاری *Ptch* روی *Smo* برداشته می‌شود. این رویداد سبب تغییر شکل *Smo* و القای متعاقب عوامل رونویسی *Gli1*، *Gli2* و *Gli3* می‌شود. فعالیت این عوامل رونویسی سبب پیشبرد رونویسی ژن‌های پاسخگو به *Hedgehog* نظیر *Gli1*، سیکلین *D1* و *Bcl-2* می‌شود [۷-۴]. پیش تنظیمی (Up-regulation) مسیر پیامرسانی *Hedgehog* در تومورزایی و

مواد و روش‌ها

بیماران

در مطالعه مورد-شاهد حاضر، ۳۶ جفت نمونه بافتی تومور و بافت سالم مجاور از بیماران مبتلا به کارسینومای تهاجمی مجاری پستان از بانک تومور انسنتیو کانسر بیمارستان امام خمینی (ره) دریافت شد. این مطالعه طی نامه به شماره ۹۵/۸۴/ت مورخ ۹۵/۱۰/۲۲ به تأیید کمیته اخلاق پژوهشی رسیده و نمونه‌گیری از بیماران با اخذ رضایت‌نامه آگاهانه پیش از جراحی همراه بوده است. بیماران در گزارش ویژگی‌های بالینی - آسیب‌شناختی بیماران از جمله درجه‌بندی (Grading) و مرحله‌بندی (Staging) (شامل اندازه تومور، وضعیت عروق لنفی، وضعیت گیرنده‌های هورمونی و وضعیت بیان ۲-Her) برای نمونه‌های بافتی در جدول ۱ خلاصه شده است. نمونه‌های بافتی در نیتروژن مایع تا زمان بررسی مولکولی نگهداری شد.

Claudin-1 دارد. همچنین ارتباط متقابلی بین این کاهش بیان و عود (Recurrence) گزارش شده است [۲۰-۲۷]. از آنجا که مسیر پیام رسانی Hedgehog در کارسینومای پستان دچار بیش تنظیمی است، مطالعه حاضر به بررسی ارتباط بیش تنظیمی این مسیر با مراحل مختلف بیماری و متاستاز به عروق لنفی می‌پردازد. همچنین از آنجا که ژن Claudin-1 یکی از اعضای کلیدی اتصالات محکم سلولی بهشمار می‌آید، سطوح بیانی این ژن و گیرنده انتقال‌دهنده پیام Smo (transducer Smo) در مسیر Hedgehog در کارسینومای Invasive ductal breast carcinoma (IDC) با وضعیت فعالیت متفاوت Her-2 بررسی می‌شود. به نظر می‌رسد ارتباط معکوس بیانی بین مسیر Claudin-1 Hedgehog و ژن Smo ممکن است برای پیش‌بینی متاستاز به عروق لنفی در سرطان پستان دارای اهمیت باشد.

جدول ۱ ویژگی‌های بالینی و آسیب‌شناختی بیماران مبتلا به سرطان پستان

مشخصات	تعداد	درصد
سن ابتلا		
میانگین (حدوده): ۴۸/۶۵ (۲۹-۷۷)	۳۶	
< ۵۰ سال	۲۰	۵۶
≥ ۵۰ سال	۱۶	۴۴
سن در شروع قاعده‌گی (میانگین ± SD)	۱۳/۴۴ ± ۱/۲	
سن در اولین زایمان (میانگین ± SD)	۲۰/۷ ± ۳/۷	
وضعیت یائسگی		
قبل از یائسگی	۲۳	۶۳
بعد از یائسگی	۱۳	۳۶
سن در زمان یائسگی (میانگین ± SD)	۵۰/۶ ± ۳/۵	
استفاده قبلی از هورمون		
بلی	۱۹	۵۳
خیر	۱۷	۴۷
اندازه تومور (سانتی‌متر)		
< ۳	۱۶	۴۴
≥ ۳	۲۰	۵۶
تومور اولیه (مرحله T)		
T1: ۲ سانتی‌متر ≤	۱۱	۳۱
T2: ۵ سانتی‌متر ≤ < ۲	۱۶	۴۴
T3: ۵ سانتی‌متر <	۹	۲۵

ارتباط بیانی ژن **Claudin-1** با مسیر **Hedgehog** در کارسینومای پستان

مشخصات	تعداد	در صد
عدد لنفاوی ناحیه ای (مرحله N)		
NX	۳	۸
N0	۱۰	۲۸
N1	۷	۱۹
N3	۱۱	۳۱
N4	۵	۱۴
متاستاز به فواصل دور (مرحله M)		
MX	۳	۸
M0	۱۴	۳۹
M1	۱۹	۵۳
متاستاز به عروق لنفی		
مثبت	۲۲	۶۱
منفی	۱۴	۳۹
مرحله (Stage) تومور		
I + II	۱۹	۵۳
III + IV	۱۷	۴۷
وضعیت گیرنده استروژن		
منفی	۱۱	۳۱
مثبت	۲۲	۶۱
نا مشخص	۳	۸
وضعیت گیرنده پروژسترون		
منفی	۱۲	۳۶
مثبت	۲۱	۵۸
نا مشخص	۳	۸
Her2 وضعیت		
منفی	۱۶	۴۴
مثبت	۱۸	۵۰
نا مشخص	۲	۶

نسخه بردار معکوس Takara) PrimeScriptTM RTase راپن) انجام شد.

واکنش Real-time PCR کمی

آغازگرهای الیگونوکلئوتیدی برای ژن‌های *Gli1*, *Smo*, *GAPDH*, *MMP2*, *E-cadherin*, *Claudin-1*, *Ptch* مطابق جدول ۲ طراحی شد. ویژگی (Specificity) و یکتا بودن توالی آغازگرها در ژنوم انسان با استفاده از نرم‌افزار Blast (<http://blast.ncbi.nlm.nih.gov/blast.cgi>) ارزیابی شد. مخلوط واکنشی در حجم نهایی ۲۰ میکرولیتر شامل ۱۰

cDNA استخراج RNA بافتی و سنتز

برای بررسی بیان ژن‌های مورد مطالعه، RNA تام از بافت با استفاده از واکنش گر ترایزول (Invitrogen, آمریکا) استخراج شد. به منظور حذف آلودگی احتمالی با DNA ژنومی، استخراج شده با آنزیم DNase تیمار شد. کیفیت RNA استخراج شده با الکتروفورز روی ژل آگارز تأیید و غلطت و خلوص آن توسط اسپکتروفوتومتری با جذب نوری در طول موج‌های ۲۶۰ و ۲۸۰ نانومتر سنجیده شد. سنتز cDNA با نسخه برداری معکوس ۳ میکروگرم RNA تام استخراج شده توسط هگرامر تصادفی و آنزیم

در ۶۰ درجه سانتی گراد به مدت ۳۰ ثانیه. هر مرحله تکثیری کامل توسط یک مرحله تفکیک (Dissociation) که شامل ۹۵ درجه سانتی گراد برای ۱۵ ثانیه، ۶۰ درجه سانتی گراد برای ۳۰ ثانیه و ۹۵ درجه سانتی گراد برای ۱۵ ثانیه به منظور تجزیه و تحلیل منحنی ذوب ادامه یافت. مقادیر رونوشت‌های ژن‌های هدف در مقایسه با بیان ژن GAPDH به عنوان ژن خانه‌دار هدف در استفاده از فرمول $2^{-\Delta\Delta Ct}$ محاسبه شد. کارآیی تکثیر ژن‌های مورد مطالعه بر اساس شب منحنی استاندارد که بر اساس مقادیر لگاریتمی رقت‌های متواالی cDNA در مقابل Ct های متناظر ترسیم می‌شود، مطابق فرمول Efficiency ($E = 10^{-1/slope}$) محاسبه شد [۲۱].

میکروولیتر SYBR Green I Master Mix (Takara، ژاپن)، ۵ پیکومول از هر آغازگر، ۷ میکروولیتر آب و ۵ نانوگرم cDNA ستر شده تهیه شد. واکنش Q-RT-PCR برای هر ژن، دو سری و به صورت هم زمان انجام و میانگین Ct (چرخه آستانه) به دست آمده برای هر ژن محاسبه شد. واکنش در دستگاه ABI StepOne sequence Detection System (Applied Biosystems، آمریکا) تحت شرایط دمایی و زمانی زیر انجام یافت: در ابتدا ۹۵ درجه سانتی گراد به مدت ۵ دقیقه به عنوان مرحله واسرتستگی اولیه در نظر گرفته شد. سپس برنامه دمایی زیر در ۴۰ چرخه تکرار شد: مرحله واسرتستگی در دمای ۹۵ درجه سانتی گراد به مدت ۱۰ ثانیه و مراحل اتصال / توسعه

جدول ۲ آغازگرهای الیگونوکلئوتیدی به کار رفته در سنجش Real-time PCR

	طول قطعه (جفت باز)	ترادف	آغازگر	ژن
۷۵	5'-CGGCAGCCGCGATAAG-3' 5'-TTAATGATGCCATCTGCATCCA-3'	F R		Ptch
۱۴۲	5'-GTGCTGGCCCCATCG-3' 5'-GCAGCATGGTCTCGTGATCT-3'	F R		Smo
۸۱	5'-GTTCACATGCGCAGACACACT-3' 5'-TTCGAGGCCTGAGTATGACTTC-3'	F R		Gli1
۲۱۴	5'-TTGGGCTTCATTCTCGCCTT-3' 5'-TTGCTTGAATGTGCTGCTC-3'	F R		Claudin-1
۲۰۳	5'-GGATGCCGCCTTAACTGGA-3' 5'-AGGCACCCCTTGAAGAAGTAGC-3'	F R		MMP2
۲۴۰	5'-TCATGAGTGTCCCCCGGTAT-3' 5'-TCTGAAGCGATTGCCCCAT-3'	F R		E-cadherin
۱۱۲	5'-TCACCACTCCTCCACCTTG-3' 5'-TCCACCACCCCTGTTGCTGTAG-3'	F R		GAPDH

منحنی استاندارد که با استفاده از رقت‌های متواالی از نمونه‌های cDNA ستر شده تهیه شده بود، استفاده شد و همه کارآیی‌های تکثیر رونوشت‌های مورد مطالعه تقریباً برابر است که این نشاندهنده اعتبار آزمون کمی برای ارزیابی نسبی بیان ژن‌ها است. از آنجایی که رنگ SYBR Green I PCR استفاده می‌شود، به هر نوع DNA دو رشته‌ای متصل شده و توانایی تشخیص محصول اختصاصی از غیر اختصاصی را ندارد، بنابراین وجود مواردی چون دایمر آغازگر یا محصول غیر اختصاصی نیز سبب افزایش در شدت نور فلورسانس می‌شود [۲۲]. از این رو، به منظور تأیید درستی قطعه تکثیر شده و اطمینان

تجزیه و تحلیل آماری داده‌ها

داده‌ها به صورت میانگین \pm انحراف معیار از حداقل دو آزمایش مستقل ارایه شد و از آزمون t-test برای تجزیه و تحلیل آماری تغییرات داده‌ها استفاده شد. مقادیر P-value کوچک‌تر از ۰/۰۵ از نظر آماری معنی‌دار در نظر گرفته شد.

نتایج

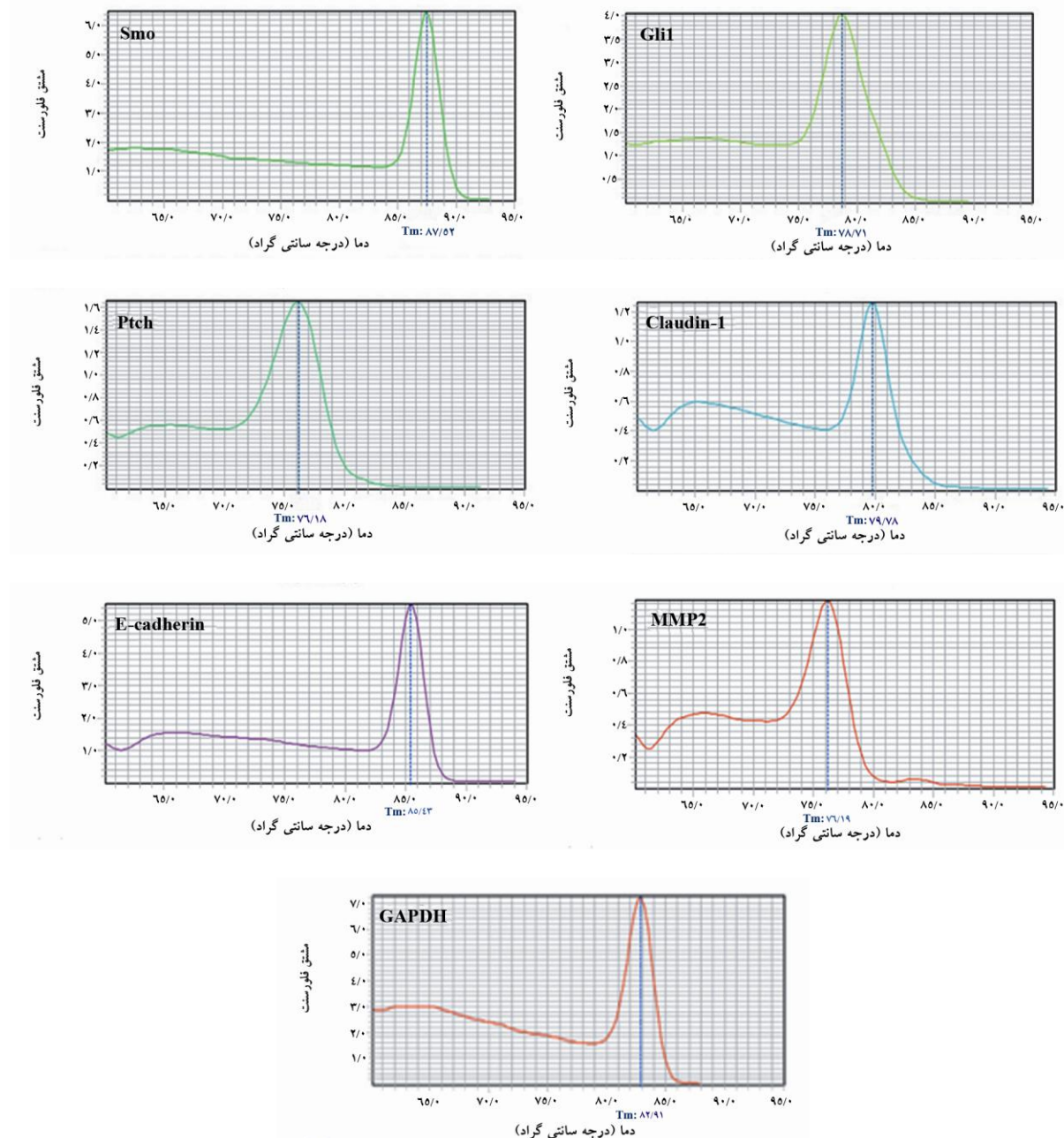
کارآیی تکثیر و تجزیه و تحلیل منحنی ذوب

برای تعیین کارآیی واکنش تکثیر برای هر یک از ژن‌ها، از

ارتباط بیانی ژن **Claudin-1** با مسیر Hedgehog در کارسینومای پستان

(Peak) مشاهده شده برای هر ژن در دمای ذوب منحصر به خودش، اختصاصی بودن محصول PCR مشخص شد (شکل ۱).

از عدم وجود محصول غیر اختصاصی از نمودار ذوب (Melting curve) استفاده شد. در این نمودار با توجه به وجود تنها نقطه اوج

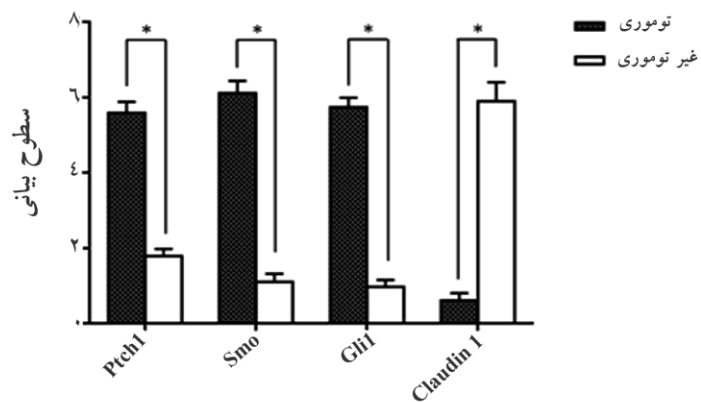


شکل ۱ منحنی های ذوب ژن های مورد مطالعه؛ وجود تنها یک نقطه اوج برای هر ژن در دمای ذوب و بیزه آن، نشان دهنده اختصاصی بودن محصول تکثیر است.

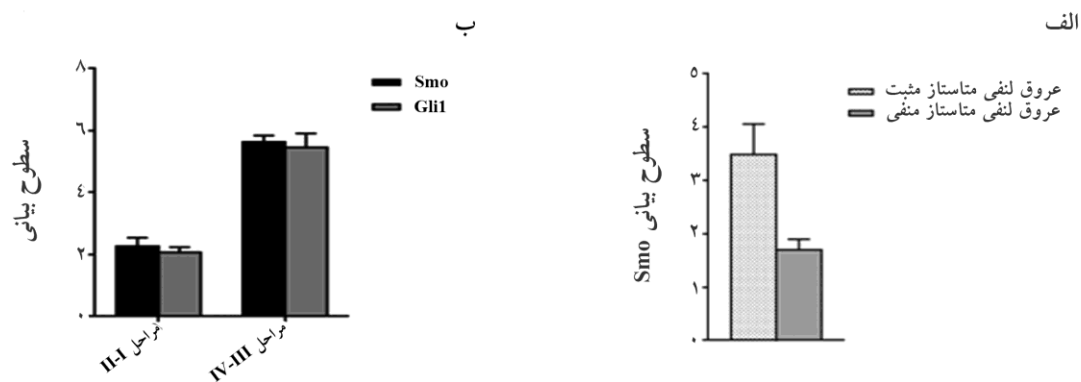
برای این منظور ۳۶ جفت نمونه بافت تومور و نمونه بافت غیر توموری حاشیه تومور از بیماران با سرطان پستان بررسی شد. همان طور که در شکل ۲ نشان داده است، سطوح بیانی رونوشت‌های Gli1 و Smo در نمونه‌های توموری به طور قابل ملاحظه‌ای بیشتر از نمونه‌های غیر توموری مجاور بود. میزان بیان Claudin-1 در نمونه‌های توموری به طور قابل ملاحظه‌ای نسبت به بافت‌های غیر توموری مجاور پایین‌تر بود.

بیان اعضای کلیدی مسیر Hedgehog و ژن Claudin-1 در نمونه‌های سرطان پستان و بافت‌های سالم مجاور

به منظور بررسی میزان بیان اعضای کلیدی مسیر پیام‌رسانی (Ptch1 و Gli1Smo) Hedgehog و بررسی سطوح بیانی ژن اتصال سلولی Q-RT-PCR از Claudin-1 استفاده شد که



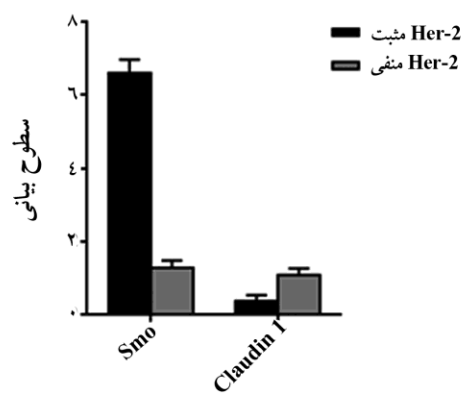
شکل ۲ بیان بالای اعضای کلیدی مسیر انکوژنی Hedgehog در نمونه‌های توموری و غیر توموری سرطان تهاجمی پستان. سطوح بیانی رونوشت ژن‌های Smo و Gli1 در نمونه‌های توموری به طور قابل ملاحظه‌ای بیشتر است. همچنین بیان Claudin-1 در نمونه‌های توموری نسبت به بافت‌های غیر توموری مجاور پایین‌تر است.



شکل ۳ تفاوت محسوس در سطوح رونوشت‌های اعضای کلیدی مسیر پیام‌رسان Hedgehog در کارسینومای تهاجمی مجاری پستان با ویژگی‌های بالینی و آسیب‌شنختی متفاوت. (الف): متاستاز به عروق لنفی؛ (ب): مرحله متاستازی تومور

ارتباط بیانی ژن **Claudin-1** با مسیر **Hedgehog** در کارسینومای پستان

در مسیر **Hedgehog** (Ra) نمایان می‌کند. همچنین سطوح بیانی ژن **Claudin-1** که به عنوان یکی از اجزای مهم اتصالات محکم در سلول‌های اپی‌تیال مطرح است، در نمونه‌های کارسینومای پستان **Her-2** مثبت افزایش جزئی در مقایسه با بافت‌های توموری داشت که فاقد بیان ژن **Her-2** بودند.



شکل ۴ بررسی بیان ژن‌های **Smo** و **Claudin-1** در سرطان پستان **Her-2** مثبت. سطوح بیانی ژن **Smo** در نمونه‌های **Her-2** مثبت نسبت به **Her-2** منفی به طور قابل توجهی بیشتر است. همچنین سطوح بیانی ژن **Claudin-1** در نمونه‌های **Her-2** مثبت افزایش جزئی نسبت به نمونه‌های **Her-2** منفی دارد.

بررسی ارتباط بین سطوح بیانی ژن‌های **Smo** و **Claudin-1** و برخی ژن‌های مرتبط با متاستاز (E-cadherin و MMP2)

از آنجا که گزارش‌های وجود دارد که نشان می‌دهد پیش‌تنظیمی مسیر **Hedgehog** قادر به تغییر توانایی سلول‌های سرطانی به پاییندی به اپی‌تیالوم و حمله از طریق اجزای ماتریکس خارج سلولی است، بررسی سطوح بیانی ژن‌های E-cadherin (به عنوان نشانگر شاخص سلول اپی‌تیال) که بیان آن در روند متاستاز کاهش می‌یابد) و MMP2 (متالوپروتئیناز کلیدی که بیان آن در روند متاستاز افزایش می‌یابد) در نمونه سرطان پستان مدنظر قرار گرفت. در این راستا افزایش بیان ژن‌های **Smo** و **MMP2** در نمونه‌های توموری پستان در مراحل پیشرفته متاستاز (مراحل III-IV) نسبت به مراحل اولیه

فعالیت مسیر پیام‌رسانی **Hedgehog** در بافت‌های توموری سرطان پستان با پارامترهای بالینی آسیب‌شناختی مختلف

به منظور بررسی ارتباط مابین سطوح فعالیت مسیر پیام‌رسانی **Hedgehog** و پارامترهای بالینی - آسیب‌شناختی سطوح بیان دو عضو کلیدی این مسیر (**Gli** و **Smo**) بین گروه‌های مختلف بررسی شد. همان‌گونه که در شکل ۳ الف دیده می‌شود، سطوح بیانی ژن **Smo** در نمونه‌های توموری با متاستاز به عروق لنفی بیشتر است. در این رابطه، اختلاف معنی‌داری نیز بین مراحل I-II و مراحل III-V از بافت کارسینومای پستان وجود دارد (شکل ۳ ب). همچنین به منظور تعیین این موضوع که همراهی مابین بیان بالای ژن **Smo** و متاستاز به عروق لنفی با وضعیت مثبت یا منفی بودن گیرنده‌های استروژنی و پروژستونی در ارتباط است، بیان ژن **Smo** در بیماران مختلف بررسی شد و مشخص شد همراهی ژن **Smo** و متاستاز به عروق لنفی با وضعیت بیانی گیرنده‌های هورمونی در ارتباط نیست.

بررسی بیان ژن‌های **Smo** و **Claudin-1** در سرطان پستان **Her-2** مثبت

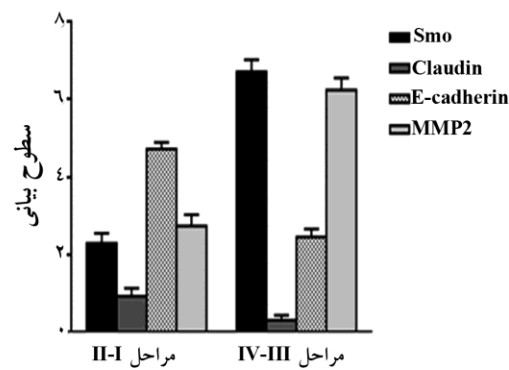
تحقیقات گذشته نشان داده که تنظیم مثبت مسیر پیام‌رسانی **Hedgehog** برای تکوین مناسب غدد پستانی و جلوگیری از شکل‌گیری تومور ضروری است [۲۲]. از آنجایی که **Her-2** به عنوان یک نشانگر شناخته شده مرتبط با پتانسیل متاستازی در سرطان پستان است، محققان حاضر بررسی نمودند که آیا ارتباط بین **Smo** و متاستاز به عروق لنفی تحت تأثیر بیان مثبت یا منفی از **Her-2** قرار می‌گیرد. در مقایسه با سرطان‌های پستان با بیان **Her-2** منفی، در تمام بافت‌های تومور پستان که در آن **Her-2** مثبت بود بیان **Smo** به طور قابل توجهی افزایش پیدا کرده است (شکل ۴). این نتایج رابطه مثبت معنی‌داری مابین بیان ژن **Her-2** و ژن **Smo** (به عنوان عضو کلیدی و پیام‌رسان

پستان یاد می‌شود. در این راستا کاسپر (Kasper) و همکاران [۲۶] در سال ۲۰۰۹ دریافتند که مهار مسیر پیام‌رسانی Hedgehog در تومورهای پستان ممکن است سبب این دو نتیجه شود؛ اول این که با تغییر در استرومای تومور باعث تداخل در پیشرفت سرطان می‌شود و دیگری این که قدرت حفظ سلول‌های بنیادی سرطانی در بافت تومور را کاهش می‌دهد.

به دلیل نقش کلیدی مسیر Hedgehog در تنظیم متاستاز سرطان پستان، این مطالعه به بررسی سطوح بیانی اعضای کلیدی این مسیر پیام‌رسانی در بیماران کارسینومای تهاجمی مجاری پستان پرداخت. همچنین بیان ژن‌های درگیر در فرآیند متاستاز شامل Claudin-1 (ژن مهم درگیر در اتصالات محکم بین سلولی)، E-cadherin (به عنوان نشانگر ساختار سلول اپی‌تلیال) و MMP2 (متالوپروتئیناز کلیدی در روند فرآیند متاستاز) بررسی شد. افزون بر این، در مطالعه حاضر ارتباط مابین بیش تنظیمی Smo و بیان کاهش‌یافته ژن Claudin-1 با پتانسیل متاستازی افزایش یافته در کارسینومای پستان بررسی شد.

نتایج این مطالعه نشان داد که بیان ژن‌های درگیر در مسیر پیام‌رسانی Hedgehog شامل Smo، Ptch و Gli1 به طور معنی‌داری در بافت‌های سرطان پستان افزایش یافته است و نیز بیان ژن Claudin-1 در این بافت‌ها کاهش معنی‌دار نشان داد. این یافته سازگار با مطالعات پیشین بود به طوری که در سال ۲۰۱۳، لو (Lu) و همکاران [۲۰] با مقایسه سطوح بیانی Claudin‌ها در انواع سرطان پستان دریافتند که سطوح بیانی Claudin پایین Claudin قویاً با پدیده متاستاز و عود بیماری در ارتباط است و از بیان این ژن به عنوان یک عامل پیش‌گو (Predictor) برای عود بیماری یاد کردند. همچنین Kubo (Kubo) و همکاران با گزارش سطوح بیانی افزایش یافته مسیر Hedgehog در بافت بیماران مبتلا به سرطان پستان از این مسیر به عنوان هدفی نوین در درمان بیماران مبتلا به سرطان پستان یاد کردند [۲۷]. بنابراین با توجه به درگیری مسیر پیام‌رسانی Hedgehog و Claudin-1 در فرآیند متاستاز، این

(مراحل I-II) مشاهده شد و همان‌گونه که انتظار می‌رفت سطوح بیانی ژن Claudin-1 و ژن E-cadherin در مراحل پیشرفته متاستاز نسبت به مراحل اولیه کاهش داشت (شکل ۵).



شکل ۵ بیان ژن‌های Smo و Claudin-1 و ژن‌های مرتبط با متاستاز (E-cadherin و MMP2) در بافت‌های کارسینومای پستان در مراحل مختلف متاستازی. بیان ژن‌های Smo و MMP2 در مراحل پیشرفته متاستاز (مراحل III, IV) نسبت به مراحل اولیه (مراحل I, II) افزایش بیشتری دارد. در مقابل سطوح بیانی ژن‌های Claudin-1 و E-cadherin در مراحل پیشرفته متاستاز نسبت به مراحل اولیه کاهش دارد.

بحث

سرطان پستان یکی از شایع‌ترین علل مرگ در اثر سرطان در زنان سراسر جهان است که به عنوان بیماری‌ای هتروژن با ویژگی‌های زیستی و فنتوتیپی متفاوت همراه است و این ویژگی‌ها تشخیص این بیماری را چالش برانگیز کرده است. حدود ۹۰ درصد از مبتلایان به سرطان پستان بر اثر متاستاز و تهاجم دچار مرگ می‌شوند. بنابراین شناسایی مسیرهای مولکولی درگیر در این فرآیند می‌تواند فرصت‌های جدیدی را در زمینه تشخیص و درمان این بدخیمی فراهم آورد [۲۴, ۲۵]. نقش مسیر پیام‌رسانی Hedgehog به عنوان عاملی مهم در رشد و توسعه تومور در سرطان‌های مختلف به ویژه کارسینومای پستان به اثبات رسیده است؛ به طوری که از بیش بیان این مسیر پیام‌رسانی به عنوان پیش‌نیازی برای تکثیر سلول‌های سرطان

ارتباط بیانی ژن **Claudin-1** با مسیر **Hedgehog** در کارسینومای پستان

پیامرسانی Hedgehog باعث تغییر توانایی سلول سرطانی در اتصال به اپیتیلیوم و تهاجم به ماتریکس خارج سلولی می‌شود، سطوح بیانی ژن‌های **Claudin-1** (ژن مهم در گیر در اتصالات محکم بین سلولی)، **E-cadherin** (به عنوان نشانگر شاخص سلول اپیتیلیال) و **MMP2** (متالوپروتئیناز کلیدی در روند فرآیند متاستاز) بررسی شد. مطابق انتظار ارتباط مثبت معنی‌داری بین سطوح بیانی ژن‌های **Smo** و **MMP2** در نمونه‌های توموری با مراحل پیشرفتۀ متاستاز دارد. شایان ذکر آن که سطوح بیانی اندک ژن‌های **E-cadherin** و **Claudin-1** در نمونه‌های توموری با مراحل پیشرفتۀ متاستاز با سوچ بیانی افزایش یافته از **Smo** همراه بود.

در مجموع مطالعه حاضر سطح جدیدی از پیچیدگی مولکولی که باید در مدیریت بیماران کارسینومای تهاجمی مجاری پستان مورد توجه قرار گیرد را آشکار ساخت. بنابراین شناسایی بیشتر نقش محوری مسیر پیامرسانی **Hedgehog** در کارسینومای تهاجمی مجاری پستان حقایق بیشتری را در زمینه پیشرفت سرطان پستان آشکار خواهد نمود. در این راستا به نظر می‌رسد بیش تنظیمی گیرنده انتقال پیام **Smo** در مسیر **Hedgehog** و ارتباط بیانی معکوس آن با ژن کلیدی اتصال محکم سلولی **Claudin-1** ممکن است باعث پیش‌آگهی بد در کارسینومای تهاجمی مجاری پستان باشد، اگرچه اهمیت بالینی این مسیر نیاز به تحقیقات بیشتری دارد.

تشکر و قدردانی

مطالعه حاضر برگرفته از پایان نامه کارشناسی ارشد رشته ژنتیک مولکولی است و با پشتیبانی مالی دانشگاه تربیت مدرس انجام شده است. نویسنده‌گان مراتب قدردانی خود را نسبت به معاونت محترم پژوهشی دانشگاه تربیت مدرس اعلام می‌دارند.

نتایج می‌تواند نشان‌دهنده ارتباط معنی‌دار بیش تنظیمی مسیر پیامرسانی **Hedgehog** و کاهش بیان **Claudin-1** در سرطان پستان تهاجمی باشد. همچنین محققان حاضر دریافتند که سطوح بیانی بالاتر **Smo** در بیمارانی دیده شد که متاستاز به عروق لنفی دارند و در مراحل پیشرفتۀ تری از متاستاز بودند. این داده‌ها سازگار با گزارش‌های قبلی است که پیشنهاد نموده‌اند بیش تنظیمی مسیر **Hedgehog** با بقای بیماران کارسینومای پستان در ارتباط است.

بیش بیان ژن **Her-2** در بیش از ۳۰ درصد سرطان‌های پستان شناسایی شده است که این امر پیش‌آگهی به نسبت ضعیفی را به همراه دارد [۲۸]. از آنجایی که **Her-2** نشانگر زیستی شناخته شده با پتانسیل افزایش متاستاز در سرطان پستان است، این مطالعه به بررسی این نکته پرداخت که آیا ارتباط بین بیان ژن **Smo** و متاستاز به عروق لنفی متأثر از بیان مثبت یا منفی **Her-2** است یا خیر. در زمینه بررسی همراهی ممکن بیان **Smo** و **Her-2**، مشاهده شد که بافت‌های توموری دارای بیان **Her-2** در مقایسه با بافت‌های **Her-2** منفی دارای سطوح رونوشت‌های بیشتری از **Smo** بود. این نتایج پیشنهاد می‌کند که پیامرسانی **Her-2** در سرطان پستان ممکن است دلیلی برای بیش تنظیمی محسوس ژن **Smo** باشد.

بیان کاهش یافته **E-cadherin** اغلب در سرطان‌های مهاجم گزارش شده است و فقدان آن به طور محسوسی با روند گذار اپیتیلیال به مزانشیم (EMT) مرتبط است [۱۳-۱۵]. کسب فنوتیپ تهاجمی دارای شباهت‌هایی با EMT شامل از دست رفتن چسبندگی سلول-سلول و افزایش حرکت سلولی **EMT** (Cell mobility) است. طی **EMT**، سویچ در بیان ژن **N-cadherin** به سوی بیان ژن **Cadherin** (نشانگر سلول مزانشیمی) سبب تغییر در ماتریکس سلولی می‌شود [۱۴]. از آنجایی که مطالعات گذشته اشاره بر آن داشته‌است که

منابع

[1] Siegel R, Ma J, Zou Z, Jemal A. Cancer

statistics, 2014. CA Cancer J Clin 2014; 64(1):

- 9-29.
- [2] Goldhirsch A, Ingle JN, Gelber RD, Coates AS, Thürlimann B, Senn HJ; Panel members. Thresholds for therapies: highlights of the St Gallen International Expert Consensus on the primary therapy of early breast cancer 2009. *Ann Oncol* 2009; 20(8): 1319-29.
- [3] Galea MH, Blamey RW, Elston CE, Ellis IO. The Nottingham Prognostic Index in primary breast cancer. *Breast Cancer Res Treat* 1992; 22(3): 207-19.
- [4] Duman-Scheel M, Weng L, Xin S, Du W. Hedgehog regulates cell growth and proliferation by inducing Cyclin D and Cyclin E. *Nature* 2002; 417(6886): 299-304.
- [5] Nehmé R, Mus-Vetey I. Proteins of the Hedgehog signaling pathway as therapeutic targets against cancer. *Expert Rev Proteomics* 2010; 7(4): 601-12.
- [6] Varjosalo M, Taipale J. Hedgehog signaling. *J Cell Sci* 2007; 120(Pt 1): 3-6.
- [7] Yang L, Xie G, Fan Q, Xie J. Activation of the hedgehog-signaling pathway in human cancer and the clinical implications. *Oncogene* 2010; 29(4): 469-81.
- [8] Wang F, Ma L, Zhang Z, Liu X, Gao H, Zhuang Y, Yang P, Kornmann M, Tian X, Yang Y. Hedgehog Signaling Regulates Epithelial-Mesenchymal Transition in Pancreatic Cancer Stem-Like Cells. *J Cancer* 2016; 7(4): 408-17.
- [9] Hanna A, Shevde LA. Hedgehog signaling: modulation of cancer properties and tumor microenvironment. *Molecular Cancer* 2016; 15: 24.
- [10] Borah A, Raveendran S, Rochani A, Maekawa T, Kumar DS. Targeting self-renewal pathways in cancer stem cells: clinical implications for cancer therapy. *Oncogenesis* 2015; 4: e177.
- [11] Palle K, Mani C, Tripathi K, Athar M. Aberrant GLI1 Activation in DNA Damage Response, Carcinogenesis and Chemoresistance. *Cancers (Basel)* 2015; 7(4): 2330-51.
- [12] Babashah S1, Sadeghizadeh M, Hajifathali A, Tavirani MR, Zomorod MS, Ghadiani M, Soleimani M. Targeting of the signal transducer Smo links microRNA-326 to the oncogenic Hedgehog pathway in CD34+ CML stem/progenitor cells. *Int J Cancer* 2013; 133(3): 579-89.
- [13] Friedl P, Wolf K. Tumour-cell invasion and migration: diversity and escape mechanisms. *Nat Rev Cancer* 2003; 3(5): 362-74.
- [14] Lee JM, Dedhar S, Kalluri R, Thompson EW. The epithelial-mesenchymal transition: new insights in signaling, development, and disease. *J Cell Biol* 2006; 172(7): 973-81.
- [15] Wheelock MJ, Shintani Y, Maeda M, Fukumoto Y, Johnson KR. Cadherin switching. *J Cell Sci* 2008; 121(Pt 6): 727-35.
- [16] Martin TA. The role of tight junctions in cancer metastasis. *Semin Cell Dev Biol* 2014; 36: 224-31.
- [17] Myal Y, Leygue E, Blanchard AA. Claudin 1 in breast tumorigenesis: revelation of a possible novel "claudin high" subset of breast cancers. *J Biomed Biotechnol* 2010; 2010: 956897.
- [18] Zhou B, Moodie A, Blanchard AA, Leygue

ارتباط بیانی ژن **Claudin-1** با مسیر **Hedgehog** در کارسینومای پستان

- E, Myal Y. Claudin 1 in Breast Cancer: New Insights. *J Clin Med* 2015; 4(12): 1960-76.
- [19] Kwon MJ. Emerging roles of claudins in human cancer. *Int J Mol Sci* 2013; 14(9): 18148-80.
- [20] Lu S, Singh K, Mangray S, Tavares R, Noble L, Resnick MB, Yakirevich E. Claudin expression in high-grade invasive ductal carcinoma of the breast: correlation with the molecular subtype. *Mod Pathol* 2013; 26(4): 485-95.
- [21] Livak KJ, Schmittgen TD. Analysis of relative gene expression data using real-time quantitative PCR and the 2(-Delta Delta C(T)) Method. *Methods* 2001; 25(4): 402-8.
- [22] Wong ML, Medrano JF. Real-time PCR for mRNA quantitation. *Biotechniques* 2005; 39(1): 75-85.
- [23] Lee MY, Sun L, Veltmaat JM. Hedgehog and Gli signaling in embryonic mammary gland development. *J Mammary Gland Biol Neoplasia* 2013; 18(2): 133-8.
- [24] Visvader JE. Keeping abreast of the mammary epithelial hierarchy and breast tumorigenesis. *Genes Dev* 2009; 23(22): 2563-77.
- [25] Wu Y, Sarkissyan M, Vadgama JV. Epithelial-Mesenchymal Transition and Breast Cancer. *J Clin Med* 2016; 5(2). pii: E13.
- [26] Kasper M, Jaks V, Fiaschi M, Toftgard R. Hedgehog signalling in breast cancer. *Carcinogenesis* 2009; 30(6): 903-11.
- [27] Kubo M, Nakamura M, Tasaki A, Yamanaka N, Nakashima H, Nomura M, Kuroki S, Katano M. Hedgehog signaling pathway is a new therapeutic target for patients with breast cancer. *Cancer Res* 2004; 64(17): 6071-4.
- [28] Slamon DJ, Godolphin W, Jones LA, Holt JA, Wong SG, Keith DE, Levin WJ, Stuart SG, Udove J, Ullrich A. Studies of the HER-2/neu proto-oncogene in human breast and ovarian cancer. *Science* 1989; 244(4905): 707-12.